



โครงสร้างผลึกและแถบพลังงานของสารกึ่งตัวนำ

คุณสมบัติที่สำคัญของสารกึ่งตัวนำคือ

- 1) มีสัมประสิทธิ์อุณหภูมิของความต้านทานเป็นลบ (negative temperature coefficient of resistance) คือเมื่ออุณหภูมิสูงขึ้นความต้านทานจะลดลง
- 2) มีสภาพต้านทานไฟฟ้าประมาณ $10^{-3} - 10^6 \Omega\text{-cm}$ ที่อุณหภูมิห้อง
- 3) มีคุณสมบัติเกี่ยวกับการแปลงกระแสสลับให้เป็นกระแสตรง (rectifying effects)
- 4) สามารถตอบสนองต่อแสง กล่าวคือ เมื่อแสงตกกระทบสารจะมีแรงเคลื่อนไฟฟ้า (Photovoltage) เกิดขึ้น และความต้านทานไฟฟ้าเปลี่ยนแปลงได้

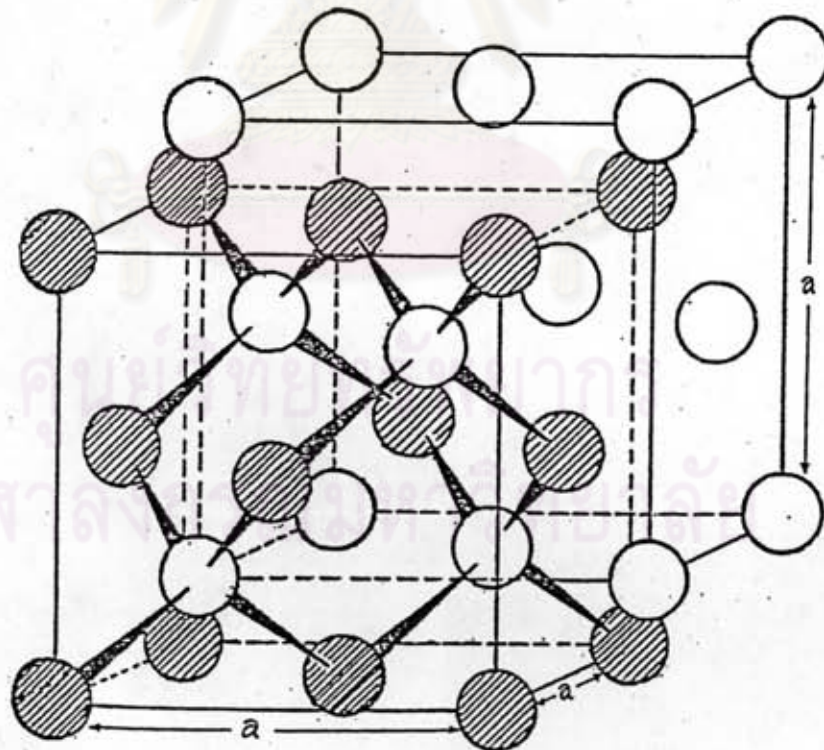
คุณสมบัติเหล่านี้สามารถอธิบายได้ด้วยทฤษฎีแถบพลังงาน ดังนั้นเพื่อความสมบูรณ์ของเนื้อหาของการวิจัย ในบทนี้จะกล่าวถึงทฤษฎีแถบพลังงานพร้อมทั้งวิธีที่นิยมใช้วัดค่าช่องว่างแถบพลังงาน โดยจะเริ่มจากการเรียงตัวอย่างเป็นระเบียบของอะตอมในผลึก และจะใช้แบบของโครนิคและเพนนี่ (Kronig and Penny's model) แสดงให้เห็นว่าการเรียงตัวอย่างเป็นระเบียบทำให้เกิดช่องว่างแถบพลังงานขึ้นได้ สำหรับตัวอย่างของโครงสร้างแถบพลังงานของสารกึ่งตัวนำบางตัวที่ได้ยกมาเป็นตัวอย่างนั้น จะเน้นผลของอันตรกิริยา 2 อันตรกิริยา คืออันตรกิริยาที่เกิดจากสปินกับออร์บิต (spin-orbit interaction) ของอิเล็กตรอน และอันตรกิริยาที่เกิดจากสนามของผลึกซึ่งไม่เป็นลูกบาศก์ (noncubic crystalline field) โดยอันตรกิริยาทั้งสองเป็นอันตรกิริยาที่สำคัญในสารกลุ่มซัลโคไฟไรท์ ซึ่งทำให้ระดับพลังงานของแถบวาเลนซ์แยกจากกัน

2.1 โครงสร้างผลึกของสารกึ่งตัวนำ

ถ้าแบ่งโครงสร้างผลึกของสารกึ่งตัวนำที่เกิดจากการเรียงตัวของอะตอมที่จับกันแบบ
 tetrahedral bond (tetrahedral bond) จะแบ่งออกได้เป็นชนิดใหญ่ ๆ 3 ชนิด
 (เฉพาะที่เกี่ยวกับซิลิคอน) คือ

2.1.1 โครงสร้างผลึกแบบเพชร (diamond structure)

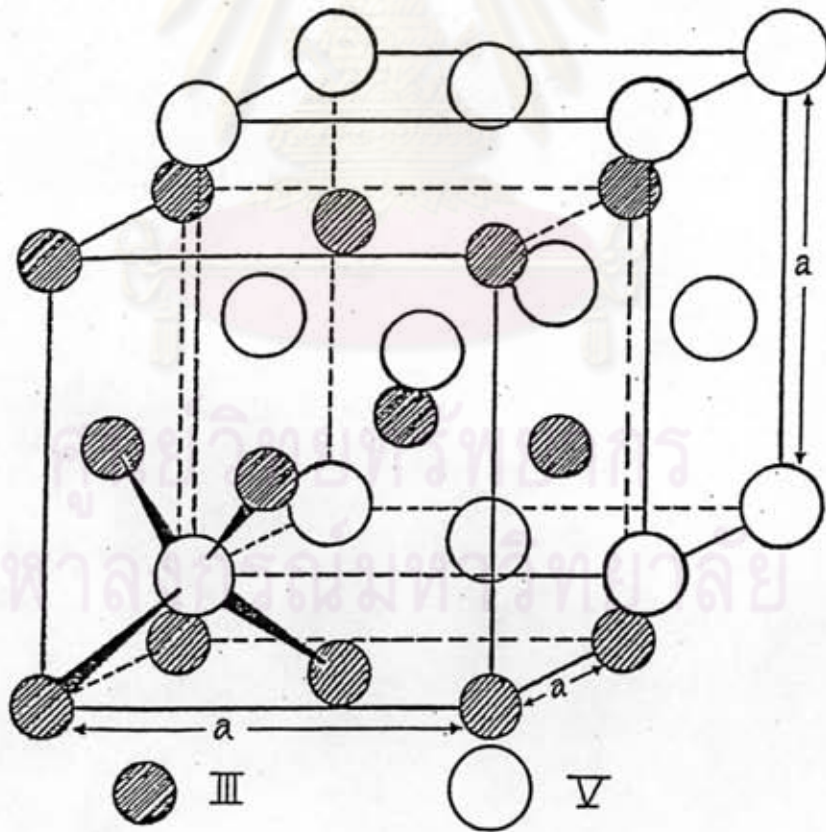
โครงสร้างแบบนี้เป็นโครงสร้างของสารกึ่งตัวนำที่เป็นธาตุในหมู่ IV คือ C, Si, Ge และ Sn เราอาจพิจารณาได้ว่าโครงสร้างแบบเพชร เกิดจากการเอาโครง
 ผลึกแบบเฟซเซนเตอร์คิวบิก (face-centered cubic lattices, $a = b = c$,
 $\alpha = \beta = \gamma = 90^\circ$) สองโครงมาวางเหลื่อมกันเป็นระยะทาง $\frac{1}{4}$ ของเส้น
 ทแยงมุม โดยอะตอมของโครงผลึกทั้งสองเป็นอะตอมชนิดเดียวกัน ดังรูป 2.1 จะ
 เห็นว่าโครงผลึกแบบนี้เป็นรูปลูกบาศก์ซึ่งบิดเบี้ยวไต่ยากมาก เพราะอะตอมที่จับในแต่ละ
 แขนของ tetrahedral bond เป็นอะตอมชนิดเดียวกัน แรงดึงดูดเท่ากันทุกทาง โครงผลึก
 จึงสมมาตรมาก



รูปที่ 2.1 แสดงโครงสร้างผลึกแบบเพชร แรเงาให้เห็นเฟซเซนเตอร์คิวบิก
 ซ้อนกันอยู่เป็นระยะ $\frac{a}{4}$, $\frac{a}{4}$, $\frac{a}{4}$

2.1.2 โครงสร้างผลึกแบบซิงค์เบลนด์

ส่วนมากเป็นโครงสร้างของสารประกอบกึ่งตัวนำกลุ่ม III-V เช่น GaAs, GaSb, InSb เป็นต้น โครงสร้างแบบนี้ที่จริงก็คือโครงสร้างแบบเพชรนั่นเอง แต่โครงสร้างผลึกเพชเชนเตอร์คิวบิกสองโครงที่เหลื่อมกันนั้น แต่ละโครงก็เป็นของอะตอมแต่ละชนิด ดังรูป 2.2 ถึงแม้ว่าโครงสร้างแบบนี้จะประกอบด้วยอะตอมต่างกัน 2 ชนิด แต่อะตอมที่ปลายแขนของเตตระฮีดรอนของอะตอมแต่ละตัวยังคงเป็นอะตอมชนิดเดียวกัน ตัวอย่างเช่นในกรณีของ GaAs ปลายแขนของ Ga จะมี As จับอยู่ 4 อะตอม และที่ปลายแขนของ As ก็มี Ga จับอยู่ 4 อะตอมเช่นกัน ดังนั้นโครงสร้างแบบนี้ยังคงเป็นลูกบาศก์อยู่ แต่จะมีสมมาตรน้อยกว่าโครงสร้างแบบเพชร



รูปที่ 2.2 แสดงโครงสร้างผลึกแบบซิงค์เบลนด์

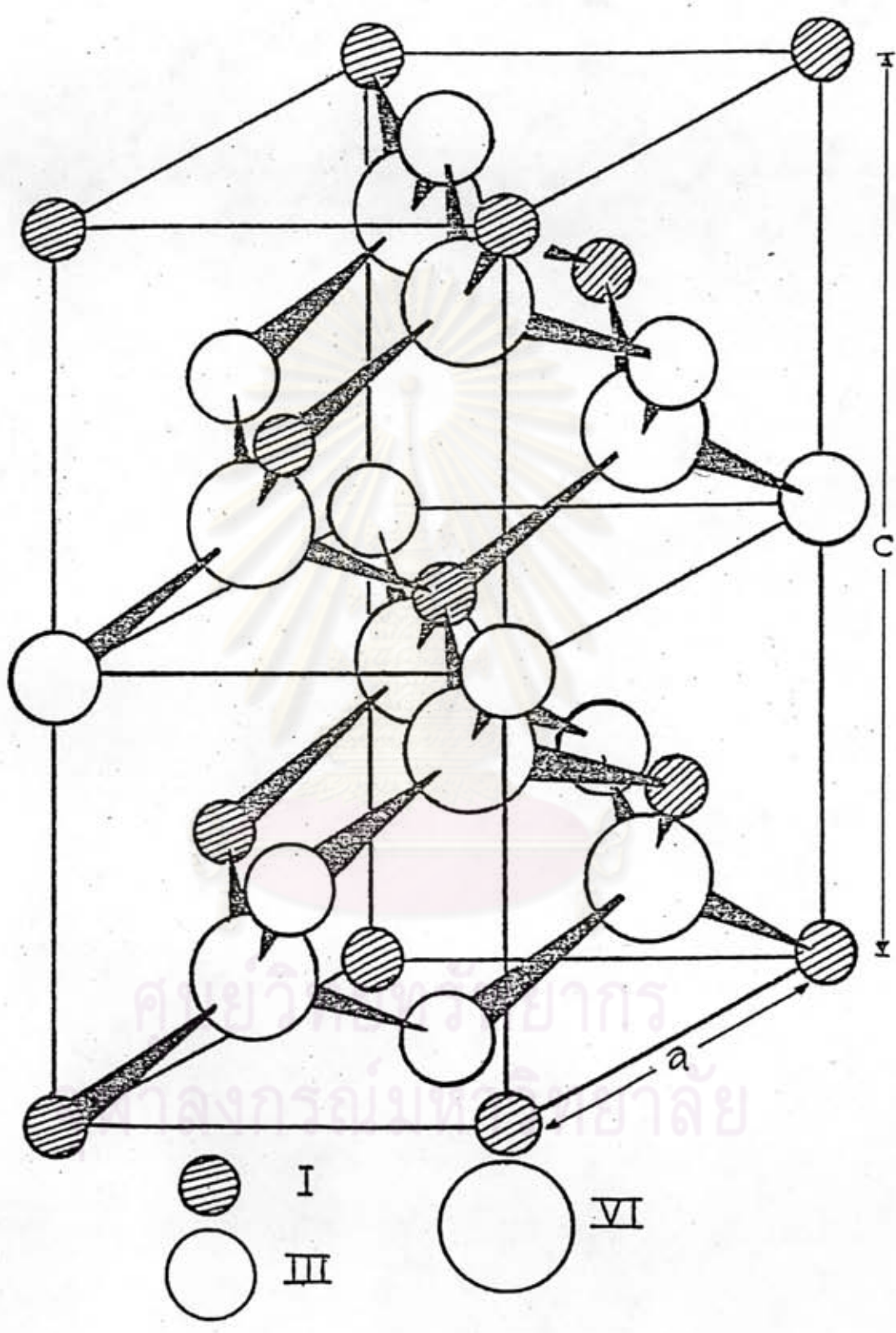
2.1.3 โครงสร้างผลึกแบบซาลโคไพไรท์ (chalcopyrite structure)

โครงสร้างนี้พบมากในสารประกอบกึ่งตัวนำกลุ่ม I-III-VI₂ และ II-IV-V₂ โครงสร้างแบบซาลโคไพไรท์นี้จริง ๆ แล้วก็คือโครงสร้างผลึกแบบเพชรเช่นกันกับซิงค์เบลนด์ แต่คราวนี้มีอะตอมต่างกันถึง 3 ชนิด และหน่วยเซลล์ของซาลโคไพไรท์ก็โตกว่าหน่วยเซลล์ของโครงสร้างผลึกแบบเพชร 2 เท่า รูปที่ 2.3 แสดงโครงสร้างผลึกแบบซาลโคไพไรท์

เนื่องจากโครงสร้างแบบนี้ประกอบด้วยอะตอมต่างกันถึง 3 ชนิดจับกันแบบไม่สมมาตร ตัวอย่างเช่น AgGaTe₂ สองแกนของเตตระฮีดรอนของ Te จะมี Ag จับอยู่ 2 อะตอม ส่วนอีกสองแกนจะมี Ga จับอยู่สองอะตอม แรงดึงดูดอะตอม Te จึงไม่เท่ากัน ดังนั้นโครงสร้างผลึกของซาลโคไพไรท์จึงบิดเบี้ยวไปจากรูปลูกบาศก์

การบิดเบี้ยวนี้เองที่ทำให้สารในกลุ่มซาลโคไพไรท์มีอันตรกิริยาที่เกิดจากสนามของผลึกซึ่งไม่เป็นลูกบาศก์เกิดขึ้น เมื่อดูจากรูป 2.3 จะเห็นว่าโครงสร้างผลึกของซาลโคไพไรท์ (โครงสร้างในอุดมคติซึ่งไม่มีบิดเบี้ยว) ความยาวของแกนซี (c-axis) จะเป็นสองเท่าของความยาวของแกนเอ (a-axis) ในหน่วยเซลล์ นั่นคือถ้าโครงสร้างไม่มีบิดเบี้ยว ค่า $\frac{c}{a}$ จะเท่ากับ 2 และค่า $(\frac{c}{a} - 2)$ จะเป็นตัวแปรตัวหนึ่งที่บอกว่าระดับพลังงานของแถบวาเลนซ์ จะแยกออกจากกันเท่าไรเนื่องจากผลของอันตรกิริยาที่เกิดจากสนามของผลึกซึ่งไม่เป็นลูกบาศก์ (ดูในหัวข้อ 2.6)

ศูนย์วิทยทรัพยากร
จุฬาลงกรณ์มหาวิทยาลัย



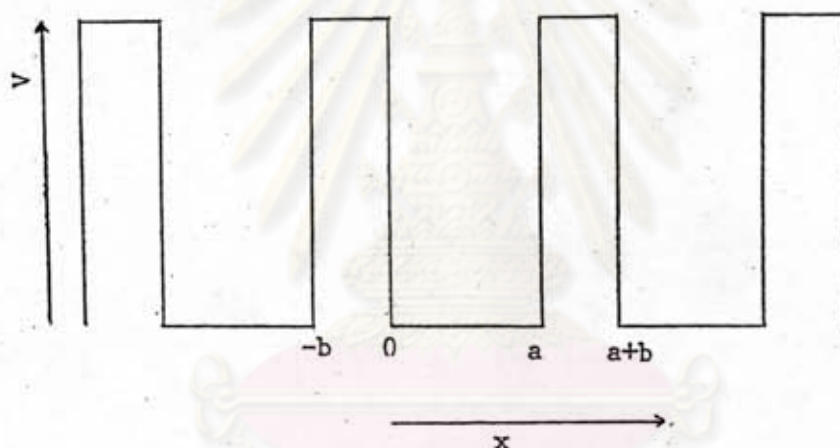
รูปที่ 2.3 แสดงโครงสร้างผลึกแบบซาลโคไฟไรท์ (กลุ่ม I-III-VI₂)



2.2 อิเล็กตรอนในผลึก

ในหัวข้อ 2.1 ได้แสดงให้เห็นถึงการจับกันอย่างเป็นระเบียบของอะตอมในผลึก ในหัวข้อนี้จะแสดงให้เห็นว่าความเป็นระเบียบของผลึกนี้ ถึงแม้จะประมาณอย่างง่าย ๆ โดยใช้แบบของโคโรนิกและเพนิกก็ทำให้เกิดช่องว่างแถบพลังงานขึ้นได้

อิเล็กตรอนในผลึกนั้นต่างจากอิเล็กตรอนธรรมดาทั่ว ๆ ไปคือ อิเล็กตรอนในผลึก อยู่ในสนามศักย์ที่มีความเป็นคาบ (สนามศักย์ของอะตอม) ลองพิจารณาปัญหานี้โดยใช้คณิตศาสตร์ดู เพื่อความง่ายจะพิจารณาในหนึ่งมิติและให้สนามศักย์ $V(x)$ มีลักษณะ ดังรูป 2.4 คือ



รูปที่ 2.4 แสดงบอศักย์ที่มีความเป็นคาบ

$$V = 0 \text{ เมื่อ } 0 < x < a \text{ และ } V = V_0 \text{ เมื่อ } -b < x < 0$$

สมการชโรดิงเงอร์ในหนึ่งมิติในกรณีนี้คือ

$$\frac{d^2\psi}{dx^2} + \frac{2mE}{\hbar^2} \psi = 0 \text{ เมื่อ } 0 < x < a \quad 2.2.1$$

$$\text{และ } \frac{d^2\psi}{dx^2} + \frac{2m}{\hbar^2} (E - V_0) \psi = 0 \text{ เมื่อ } -b < x < 0 \quad 2.2.2$$

จากทฤษฎีของบลอค [4] (Bloch's theorem) ซึ่งกล่าวว่าคำตอบ
ของสมการชโรดิงเงอร์สำหรับสนามศักย์ที่มีความเป็นคาบ ในหนึ่งมิติจะอยู่ในรูป

$$\Psi(x) = U_k(x)e^{ikx} \quad 2.2.3$$

โดย $U_k(x)$ คือฟังก์ชันที่มีความเป็นคาบ ซึ่งในกรณีนี้

$$U_k[x + (a + b)] = U_k(x) \quad 2.2.4$$

จากสมการ 2.2.1 ถึง 2.2.4 เมื่อใช้เงื่อนไขง่าย ๆ ของโคโรนิก
และเพนนี่ คือสมมติให้ลิมิตของ b อย่างไม่สิ้นสุด และลิมิตของ V_0 อย่างไม่
อนันต์ แต่ให้ผลคูณ $V_0 b$ ยังคงมีค่า (exist) จะได้ว่า [5]

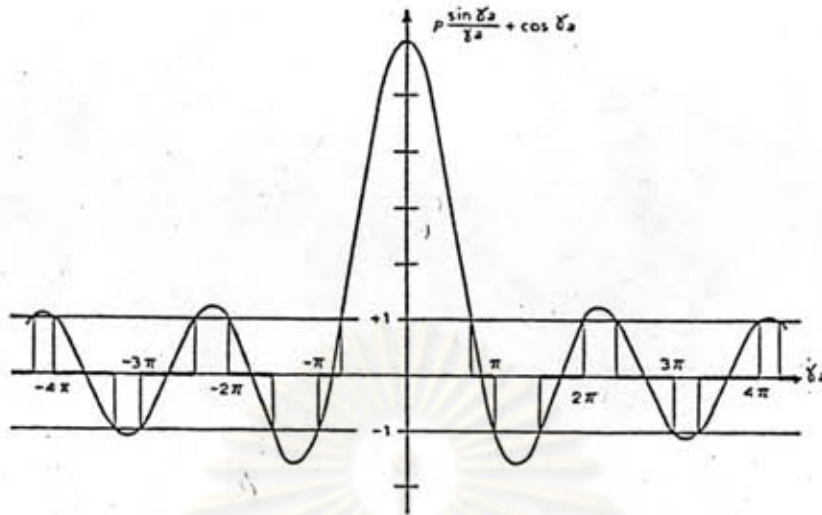
$$\cos ka = \frac{P}{\gamma a} \sin \gamma a + \cos \gamma a \quad 2.2.5$$

$$\text{โดย } \gamma = \frac{(2mE)^{1/2}}{\hbar} \quad 2.2.6$$

k = เลขคลื่นของอิเล็กตรอน

$$P = \lim_{\substack{b \rightarrow 0 \\ V_0 \rightarrow \infty}} \left[\frac{m}{\hbar^2} ab(V_0 - E) \right] \quad 2.2.7$$

ค่าทางซ้ายมือของสมการ 2.2.5 คือ $\cos ka$ นั้นมีค่าตั้งแต่ -1 ถึง $+1$
ดังนั้นเมื่อเขียนกราฟของผลบวก $\frac{P}{\gamma a} \sin \gamma a + \cos \gamma a$ กับ γa ดังรูป 2.5 ค่า
ผลบวกที่เป็นไปได้มีค่าตั้งแต่ -1 ถึง $+1$ เช่นกัน จากรูป 2.5 จะเห็นว่า γa
มีค่าที่เป็นไปได้เป็นช่วง ๆ (ก็คือ γ มีค่าได้เป็นช่วง ๆ)



รูปที่ 2.5 แสดงกราฟของ $\frac{P}{\chi a} \sin \chi a + \cos \chi a$ กับ χa เมื่อ $P = 5$
จะเห็นค่า χa ที่เป็นไปได้สี่แถบแรกขีดไว้ด้วยเส้นหนัก

จากสมการ 2.2.6 จะได้ว่า

$$\text{พลังงานของอิเล็กตรอน} \quad E = \frac{\hbar^2 \chi^2}{2m} \quad 2.2.8$$

เนื่องจาก χ มีค่าได้เป็นช่วง ๆ พลังงาน E จึงมีค่าได้เป็นช่วง ๆ เช่นกัน ค่าพลังงานที่เป็นไปไม่ได้ก็คือช่องว่างแถบพลังงานนั่นเอง ค่าพลังงานที่เป็นไปได้จะสลับกับช่องว่างแถบพลังงานไปเรื่อย ๆ

2.3 Brillouin zone (Brillouin zone)

ถ้าดูจากรูปที่ 2.5 จะเห็นว่าจุดวิกฤตที่อาจทำให้เกิดช่องว่างแถบพลังงานเกิดขึ้นคือเมื่อ $\chi a = j\pi$ เมื่อ j คือจำนวนเต็มใด ๆ และเมื่อพิจารณาจากสมการ 2.2.6

$$\chi = \hbar^{-1} (2mE)^{1/2} = \hbar^{-1} \left(\frac{2m^2 v^2}{2} \right)^{1/2} = \frac{mv}{\hbar} = \frac{2\pi}{\lambda} \quad \text{เมื่อ } \lambda \text{ คือความยาวคลื่น}$$

ของอิเล็กตรอน

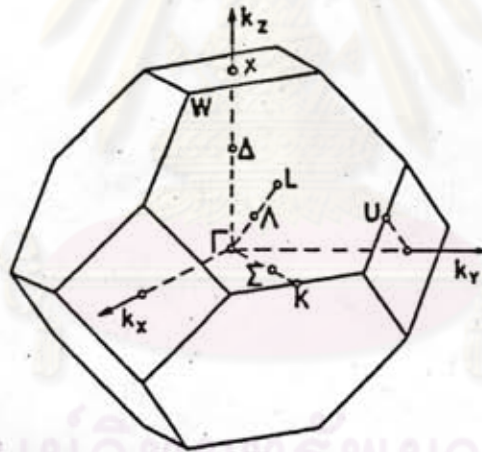
นั่นคือ จุดวิกฤตเกิดเมื่อ $j\lambda = 2a$ หรือก็คือเมื่อ $k = \frac{j\pi}{a}$
 ซึ่งเป็นกรณีเฉพาะ $\theta = \frac{\pi}{2}$ ในเงื่อนไขของแบรกก (Bragg's condition)
 $2a \sin \theta = j\lambda$ นั่นเอง เราจึงนิยามบริลลันโซนดังนี้

บริลลันโซนแรกอยู่ในช่วงของ k ซึ่ง $-\frac{\pi}{a} < k < +\frac{\pi}{a}$

บริลลันโซนที่สองอยู่ในช่วงของ k ซึ่ง $-\frac{2\pi}{a} < k < -\frac{\pi}{a}$ รวมกับ
 $\frac{\pi}{a} < k < \frac{2\pi}{a}$ ด้วย

บริลลันโซนอื่น ๆ ก็นิยามทำนองเดียวกัน จะเห็นว่าแต่ละบริลลันโซนจะมีความยาวเท่ากัน

ในกรณีบริลลันโซนในสามมิติก็ยังคงใช้เงื่อนไขคล้ายกัน รูปที่ 2.6 แสดง
 ตัวอย่างของบริลลันโซนในสามมิติ

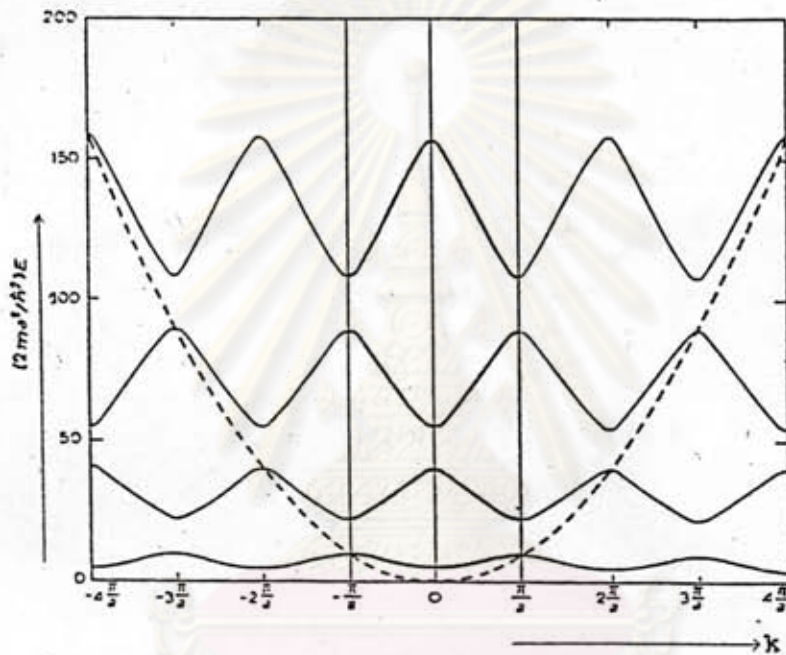


ศูนย์วิทยาทรพยากร
 จุฬาลงกรณ์มหาวิทยาลัย

รูปที่ 2.6 แสดงบริลลันโซนแรกของเฟสเซนเตอร์คิวบิก

2.4 ริควีซโซน (reduce zone)

จากสมการที่ 2.2.5 คือ $\cos ka = \frac{P}{\delta a} \sin \delta a + \cos \delta a$ นั้นถ้าแทนค่า k ด้วย $k \pm \frac{2j\pi}{a}$ แล้วสมการนี้จะไม่เปลี่ยนแปลง รูปที่ 2.7 เป็นรูปที่แสดง E กับ k ของสมการ 2.2.5 (หรือจากรูป 2.5)



รูปที่ 2.7 แสดงกราฟของ E (ในหน่วย $\frac{P}{ka}$) กับ k ซึ่งเขียนจากรูปที่ 2.5 เส้นประแสดงกราฟของอิเล็กตรอนอิสระ

จากรูป 2.7 จะเห็นว่าเราสามารถเขียนกราฟของ E กับ k (กราฟนี้ก็คือโครงสร้างแถบพลังงานนั่นเอง) เฉพาะในบริลลันโซนแรกก็ได้ความหมายดีพอแล้ว เพราะที่บริลลันโซนอื่น ๆ รูปร่างของกราฟก็จะซ้ำกับรูปร่างในบริลลันโซนแรก การเขียนกราฟเฉพาะในบริลลันโซนแรกนี้เรียกว่าการเขียนแบบริควีซโซน

ที่กล่าวมาแล้วทั้งหมดข้างต้นจะเห็นได้ว่าอิเล็กตรอนในผลึกนั้นมีคุณสมบัติแตกต่างจากอิเล็กตรอนธรรมดา อิเล็กตรอนในผลึกมีระดับพลังงานทั้งที่เป็นไปได้และเป็นไปไม่ได้ ช่วง

พลังงานที่เป็นไปไม่ได้เรียกว่าช่องว่างแถบพลังงาน ความสัมพันธ์ของ E กับ k ของอิเล็กตรอนในผลึกนั้นเป็นความสัมพันธ์แบบหลายค่า (multivalued) และเราสามารถเขียนโครงสร้างแถบพลังงานเพียงแถบริลแลนโซนแรกก็ได้

2.5 อิเล็กตรอนในสนามศักย์ที่เป็นคาบแต่มีค่าเป็นศูนย์ (empty lattice model)

ในผลึกจริง ๆ นั้นสนามศักย์ (อันตรกริยา) ไม่ได้อยู่ในรูปร่าง ๆ ค้างข้อสมมุติของโคโรนิกและเทเน่ จริง ๆ แล้วมีอันตรกริยามากมายหลายอย่างที่กระทำกับอิเล็กตรอน แต่เราสนใจเฉพาะอันตรกริยาของสปินกับออร์บิตและอันตรกริยาที่เกิดจากสนามของผลึกซึ่งไม่เป็นลูกบาศก์ เพราะสองอันตรกริยานั้นเป็นอันตรกริยาที่สำคัญในสารกลุ่มซาลโคไฟไรท์ เราจะพิจารณาโครงสร้างแถบพลังงานกันใหม่ในหัวข้อนี้ และจากที่ได้อธิบายมาแล้วในหัวข้อ 2.4 ว่าเราอาจเขียนโครงสร้างแถบพลังงานเฉพาะในริลแลนโซนแรกก็ได้ ดังนั้นในหัวข้อนี้จึงจะพิจารณาโครงสร้างแถบพลังงานในริลแลนโซน โดยจะสมมุติให้อิเล็กตรอนอยู่ในสนามศักย์ที่มีค่าเป็นศูนย์แต่สนามศักย์นี้ยังคงมีคุณสมบัติของความเป็นคาบอยู่ ซึ่งในหัวข้อถัดไปคือหัวข้อ 2.6 จะเห็นว่าเมื่อมีอันตรกริยากระทำแล้วโครงสร้างแถบพลังงานในหัวข้อ 2.5 นี้ จะเปลี่ยนไปอย่างไร

ในกรณีที่มีสนามศักย์มีความเป็นคาบแต่มีค่าเป็นศูนย์ E กับ k จะสัมพันธ์กันดังนี้ [6]

$$E(k) = \frac{\hbar^2}{2m} (k + K)^2 \quad 2.5.1$$

เมื่อ K คือเวกเตอร์ของแลตทิซกลับ (reciprocal lattice vectors) ในที่นี้จะพิจารณาพวกโครงสร้างผลึกแบบเพชร (เพชเชนเตอร์คิวบิก) ซึ่งมีแลตทิซกลับเป็นบอดีเซนเตอร์คิวบิก (body-centered cubic) เพื่อความง่ายสมมุติให้ค่านของบอดีเซนเตอร์คิวบิกยาวด้านละ 2 หน่วย และจะตัดทอน $\frac{\hbar^2}{2m}$ ออกก็จะพิจารณา E กับ k ซึ่ง

$$E(k) = (k + K)^2 \quad 2.5.2$$

หากโครงสร้างผลึกแบบเพชรจะมีเวกเตอร์ของแลตทิซกลับดังนี้

$$K_0 = 0$$

$$K_1 = (\pm 1, \pm 1, \pm 1) \quad \text{มี 8 เวกเตอร์ยาวเวกเตอร์ละ } \sqrt{3} \text{ หน่วย}$$

$$K_2 = (\pm 2, 0, 0) \quad \text{มี 6 เวกเตอร์ยาวเวกเตอร์ละ 2 หน่วย}$$

$$K_3 = (\pm 2, \pm 2, 0) \quad \text{มี 12 เวกเตอร์ยาวเวกเตอร์ละ } \sqrt{8} \text{ หน่วย}$$

และยังมีเวกเตอร์อื่นต่อไปอีก

ที่ $k = 0$ (ที่จุด Γ ของบริลลันโซน) จากสมการ 2.5.2 เมื่อแทนค่า K ต่าง ๆ ลงไปจะได้

$$E_0 = 0 \quad \text{และเป็นสถานะไม่ทรุด (nondegenerate)}$$

$$E_1 = 3 \quad \text{สถานะทรุด 8 ครั้ง}$$

$$E_2 = 4 \quad \text{และเป็นสถานะทรุด 6 ครั้ง และมี } E \text{ อื่น ๆ ต่อไปอีก}$$

ถ้าพิจารณา k ตามแนวทิศ $(0, 1, 0)$ คือจากจุด Γ ไปยังจุด X ของบริลลันโซน และในบริลลันโซนแรก จะได้ $k_x = k_z = 0$ และ $0 \leq k_y \leq 1$

สำหรับ K_0 จากสมการ 2.5.2 จะได้ $E_0 = k_y^2$ และเป็นสถานะไม่ทรุด

สำหรับ K_1 ค่าที่เป็นไปได้คือ $k_x + K_x = \pm 1$, $k_y + K_y = k_y \pm 1$,

$k_z + K_z = \pm 1$ ซึ่งจะได้พลังงานเป็นสองแถบคือ

$$E_1 = 2 + (k_y - 1)^2 \quad \text{เป็นสถานะทรุด 4 ครั้ง}$$

$$E_1 = 2 + (k_y + 1)^2 \quad \text{เป็นสถานะทรุด 4 ครั้ง}$$

แถบแรกพลังงานจะลดเมื่อ k_y เพิ่ม ส่วนแถบหลังพลังงานจะเพิ่มเมื่อ k_y เพิ่ม

สำหรับ K_2 ค่าที่เป็นไปได้คือ

$$k_x + K_x = \pm 2 \quad k_y + K_y = k_y \quad k_z + K_z = 0$$

$$k_x + K_x = 0 \quad k_y + K_y = k_y \pm 2 \quad k_z + K_z = 0$$

$$k_x + K_x = 0 \quad k_y + K_y = k_y \quad k_z + K_z = \pm 2$$

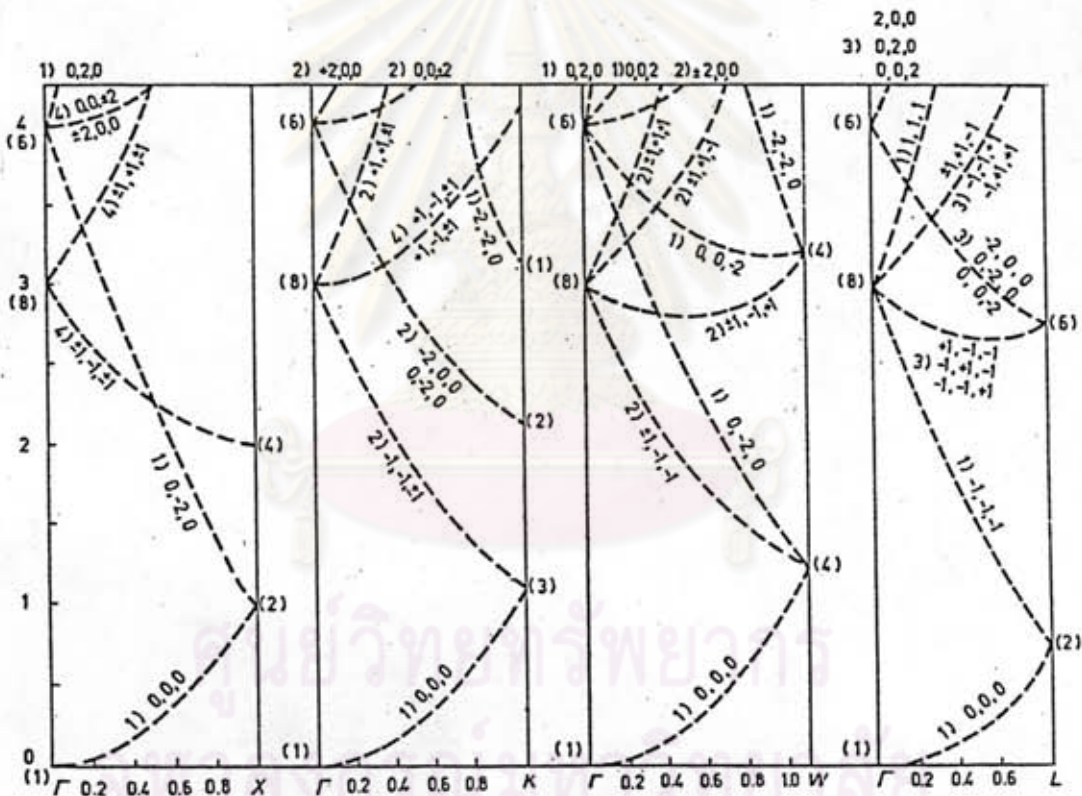
ซึ่งจะโค่งพลังงานเป็นสามแถบคือ

$$E_2 = 4 + k_y^2 \quad \text{เป็นสถานะทรุก 4 ครั้ง}$$

$$E_2 = (k_y - 2)^2 \quad \text{เป็นสถานะไม่ทรุก}$$

$$E_2 = (k_y + 2)^2 \quad \text{เป็นสถานะไม่ทรุก}$$

กราฟของ E กับ k โค่งแสดงไว้ในรูปที่ 2.8 และสำหรับ k ในที่อื่นก็พิจารณาในทำนองเดียวกัน



รูปที่ 2.8 แสดงโครงสร้างแถบพลังงานในรีคิวก์โซนของพวกโครงผลึกแบบเพชร เมื่อคิดว่าสามมศกัยเป็นคาบแต่มีค่าเป็นศูนย์

2.6 โครงสร้างแถบพลังงานของสารกึ่งตัวนำ

ในหัวข้อนี้จะดูโครงสร้างแถบพลังงานจริง ๆ ของสารกึ่งตัวนำ โดยเน้นผลของอันตรกิริยา 2 อันตรกิริยา คือ

ก. อันตรกิริยาที่เกิดจากสปินกับออร์บิต (spin-orbit interaction) ของอิเล็กตรอนซึ่งเป็นผลทางสัมพัทธภาพ (relativistic effect) และเป็นอันตรกิริยาที่สำคัญในสารกึ่งตัวนำหลายชนิด โดยเฉพาะพวกที่มีน้ำหนักอะตอมมาก ๆ แถบวาเลนซ์จะแยกออกจากกันเนื่องจากอันตรกิริยาชนิดนี้เห็นได้ชัด

ข. อันตรกิริยาที่เกิดจากสนามผลึกซึ่งไม่เป็นลูกบาศก์ (noncubic crystalline field) เกิดขึ้นในสารกึ่งตัวนำที่มีโครงสร้างแบบซาลโคไฟไรต์ ไม่เกิดกับพวกที่มีโครงสร้างแบบเพชรหรือซิงค์เบลนด์คั้งที่ใดก็ตามมาแล้วในหัวข้อ 2.1 ว่า เนื่องจากซาลโคไฟไรต์ประกอบด้วยอะตอมที่ต่างกันถึง 3 ชนิด จึงทำให้โครงผลึกบิดเบี้ยวไปจากรูปลูกบาศก์ การบิดเบี้ยวนี้ทำให้ระดับของแถบวาเลนซ์ที่จุด Γ ของซาลโคไฟไรต์แยกออกจากกันดังสมการ [7]

$$\Delta_{cf} = \frac{3}{2} B \left(2 - \frac{c}{a} \right)$$

โดย Δ_{cf} คือพลังงานที่แยกเนื่องจากสนามของผลึกซึ่งไม่เป็นลูกบาศก์

B คือศักย์บิดเบี้ยว (deformation potential)

c คือเวกเตอร์หลักในแกนซีของซาลโคไฟไรต์

a คือเวกเตอร์หลักในแกนเอของซาลโคไฟไรต์

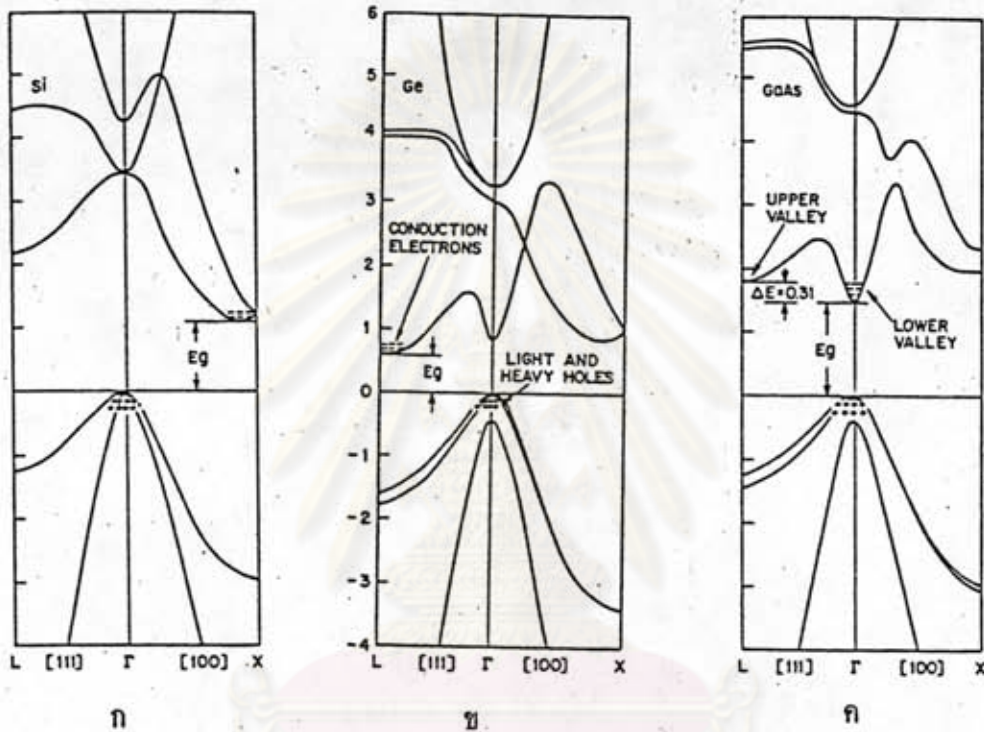
ต่อไปนี้เป็นตัวอย่างของโครงสร้างแถบพลังงานของสารกึ่งตัวนำบางตัว

2.6.1 โครงสร้างแถบพลังงานของสารกึ่งตัวนำซิลิกอน

สารกึ่งตัวนำซิลิกอน (Si) มีโครงสร้างแถบพลังงานเป็นแบบเฉียง คือจุดสูงสุดของแถบวาเลนซ์อยู่ไม่ตรงกับจุดต่ำสุดของแถบนำ โดยจุดสูงสุดของแถบวาเลนซ์อยู่ที่จุด Γ ส่วนจุดต่ำสุดของแถบนำอยู่ที่จุด X ของบริลลันโซน ดังรูป 2.9 ก Si มีการแยกของแถบวาเลนซ์ 0.044 eV เนื่องจากอันตรกิริยาของสปินกับออร์บิต

2.6.2 โครงสร้างแถบพลังงานของสารกึ่งตัวนำเยอรมาเนียม

เยอรมาเนียม (Ge) มีโครงสร้างแถบพลังงานเป็นแบบเฉียง จุดสูงสุดของแถบวาเลนซ์อยู่ที่จุด Γ ส่วนจุดต่ำสุดของแถบนำอยู่ที่จุด L ของบริลลันโซน ดังรูป 2.9 ข Ge มีการแยกของแถบวาเลนซ์ 0.29 eV เนื่องจากอันตรกิริยาของสปินกับออร์บิต



รูปที่ 2.9 แสดงโครงสร้างแถบพลังงานของ ก Si ข Ge ค GaAs ในรีคิวก์โซน

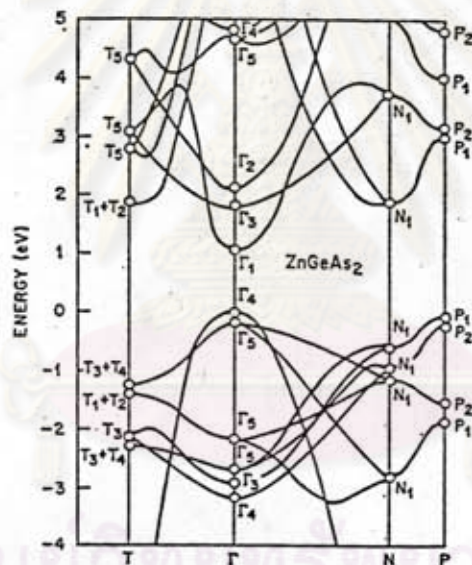
2.6.3 โครงสร้างแถบพลังงานของสารกึ่งตัวนำแกลเลียมอาร์ซีไนด์

แกลเลียมอาร์ซีไนด์ (GaAs) มีโครงสร้างแถบพลังงานเป็นแบบตรง ทั้งจุดสูงสุดของแถบวาเลนซ์และจุดต่ำสุดของแถบนำต่างก็อยู่ที่จุด Γ ของบริลลันโซน ดังรูปที่ 2.9 ค GaAs มีการแยกของแถบวาเลนซ์ 0.33 eV เนื่องจากอันตรกิริยาของสปินกับออร์บิต

2.6.4 โครงสร้างแถบพลังงานของสารกึ่งตัวนำซาลโคไฟไรต์

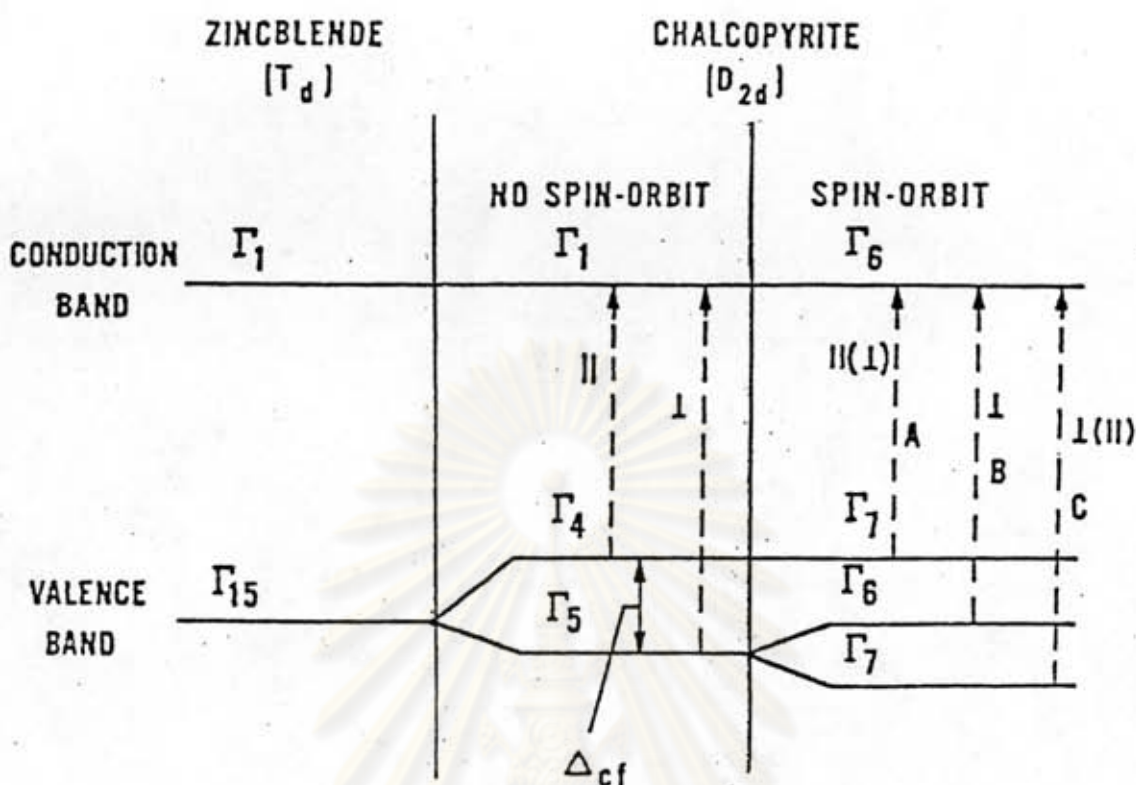
ซาลโคไฟไรต์มีโครงสร้างแถบพลังงานเป็นแบบตรง ทั้งจุดสูงสุดของแถบวาเลนซ์ และจุดต่ำสุดของแถบนำค้างก็อยู่ที่จุด Γ ของบริลลันโซน ดังรูป 2.10 เนื่องจากโครงสร้างแบบนี้มีอันตรกิริยาทั้งจากสปินกับออร์บิต และจากสนามของผลึกซึ่งไม่เป็นลูกบาศก์ ทำให้แถบวาเลนซ์แยกออกเป็น 3 ระดับ ช่องว่างแถบพลังงานของแถบวาเลนซ์แต่ละระดับกับแถบนำเรียกว่า E_A , E_B และ E_C ตามลำดับ ดังรูปที่ 2.11

สำหรับ AgGaTe_2 นั้นมีผู้รายงานไว้ว่า [8] ค่าช่องว่างแถบพลังงานเมื่อวัดด้วยวิธีคาโทโดลูมิเนสเซนซ์ (Cathodoluminescence) $E_A = 1.32 \text{ eV}$
 $E_B = 1.43 \text{ eV}$ และ $E_C = 2.23 \text{ eV}$ ตามลำดับ



รูปที่ 2.10 แสดงโครงสร้างแถบพลังงานของซาลโคไฟไรต์ ZnGeAs_2 โดยไม่คิดผลจากอันตรกิริยาของสปินกับออร์บิต





รูปที่ 2.11 แสดงการแยกของแถบวาเลนซ์ของซาลโคไพไรท์

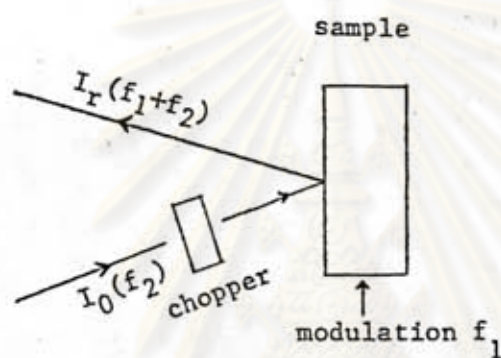
2.7 วิธีวัดค่าช่องว่างแถบพลังงาน

โดยทั่วไปแล้ววิธีที่นิยมใช้วัดค่าช่องว่างแถบพลังงานมี 2 วิธี คือวิธีวัดมอดคิวเลทรีเฟลกแตนซ์ (modulated reflectance) และวิธีวัดการดูดกลืนแสง (optical absorption) ต่อไปนี้จะกล่าวอย่างง่าย ๆ ถึงหลักการและวิธีวัดของทั้งสองวิธีพร้อมตัวอย่างของผลการวัดของสารบางตัว

2.7.1 วิธีวัดมอดคิวเลทรีเฟลกแตนซ์

หลักการของวิธีนี้คือเมื่อฉายแสงลงบนสารกึ่งตัวนำแล้ววัดสัมประสิทธิ์ของการสะท้อนของแสง R จะพบว่า R ในช่วงที่แสงมีพลังงานเท่ากับช่องว่างแถบพลังงานของสารกึ่งตัวนำ จะมีการเปลี่ยนแปลงมากกว่า R ในช่วงอื่น ๆ แต่การเปลี่ยนแปลงที่วามากนี้ยังคงสังเกตเห็นได้ยาก เพื่อให้เห็นได้ชัดเจนจึงนิยมวัดเป็นอนุพันธ์คือวัดเป็น $\frac{\Delta R}{R}$ แทน

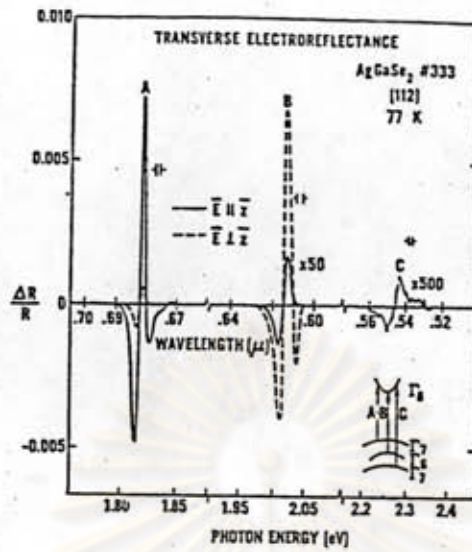
โดย ΔR คือสัมประสิทธิ์ของการสะท้อนของแสงในส่วนที่เกิดจากมอดคิวเลท (modulated) ซึ่งการมอดคิวเลทนี้ อาจเป็นการมอดคิวเลทสนามไฟฟ้าหรือ อาจเป็นการมอดคิวเลท ความยาวคลื่นของแสงที่ฉายลงไป หรืออาจมอดคิวเลท อื่น ๆ เพื่อความเข้าใจดูในรูป 2.12 ซึ่งแสดงหลักการอย่างง่ายของมอดคิวเลท รีเฟลกแตนซ์



รูปที่ 2.12 แสดงหลักการของวิธีวัดมอดคิวเลทรีเฟลกแตนซ์

ในรูป 2.12 สารตัวอย่างจะถูกมอดคิวเลทด้วยความถี่ f_1 และแสงที่มีความเข้ม I_0 จะถูกฉายผ่านตัวตัดแสง (chopper) ลงบนสารตัวอย่าง ตัวตัดแสงนี้มีความถี่ f_2 วัดความเข้มของแสงที่สะท้อนออกมาทั้งที่เป็นฟังก์ชันของ f_1 คือ $I_r(f_1)$ และทั้งที่เป็นฟังก์ชันของ f_2 คือ $I_r(f_2)$ ถ้า $\frac{I_r(f_1)}{I_r(f_2)}$ ก็คือค่าของ $\frac{\Delta R}{R}$ นั่นเอง

ดังนั้นเมื่อเปลี่ยนพลังงานแสงไปเรียบร้อยแล้วเขียนกราฟของ $\frac{\Delta R}{R}$ กับพลังงานของแสง ถ้ามีการเปลี่ยนแปลงของ $\frac{\Delta R}{R}$ ตรงไหน ตรงนั้นก็คือช่องว่างแถบพลังงาน ดังรูป 2.13 ซึ่งเป็นการมอดคิวเลทสนามไฟฟ้า วิธีมอดคิวเลทสนามไฟฟ้านี้ เรียกว่าอิเล็กโตรรีเฟลกแตนซ์ (electroreflectance)

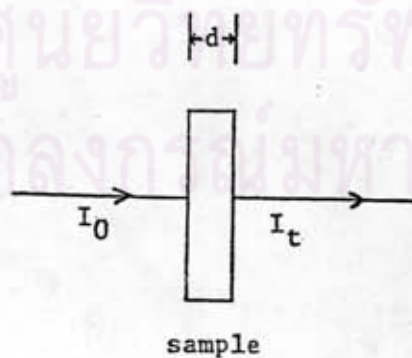


รูปที่ 2.13 แสดงผลการวัดอิเล็กโตรรีเฟลกแตนซ์ของ $AgGaSe_2$ (7)

2.7.2 วิธีวัดการดูดกลืนแสง

วิธีง่าย ๆ ของการวัดการดูดกลืนแสงคือฉายแสงที่มีความเข้ม I_0 ลงบนสาร กิ่งตัวนำซึ่งหนา d แล้ววัดความเข้ม I_t ของแสงที่ทะลุผ่านสารกิ่งตัวนำไปได้

ดังรูป 2.14



รูปที่ 2.14 แสดงการวัดการดูดกลืนแสง

ถ้าแสงตกตั้งฉากกับสารกึ่งตัวนำจะได้อัตรา [9]

$$R = \frac{I_r}{I_o} = \frac{(\eta-1)^2 - K^2}{(\eta+1)^2 + K^2} \quad 2.7.2.1$$

$$T = \frac{I_t}{I_o} = \frac{(1-R)^2 \exp(-Ld)}{1-R^2 \exp(-2Ld)} \quad 2.7.2.2$$

เมื่อ η คือค่าจริงของดัชนีหักเห

K คือค่าจินตนาการของดัชนีหักเห

L คือสัมประสิทธิ์ของการดูดกลืนแสง

ซึ่งเมื่อประมาณว่า $I_t = I_o e^{-Ld}$ 2.7.2.3

เราก็จะได้ค่า L ($h\nu$) เพราะค่า I_t , I_o และ d รู้หมดแล้วจากการวัดในรูป 2.14 ซึ่งเมื่อรู้ L ($h\nu$) จะทำให้รู้ว่าสารนั้นมีโครงสร้างแถบพลังงานเป็นแบบตรงหรือแบบเฉียง โดยดูจากกราฟของ L กับ $h\nu$ ซึ่งถ้า [10]

ก. ถ้า L เกิดจากการย้ายสถานะแบบตรง (direct transition) ความสัมพันธ์ของ L กับพลังงานแสง $h\nu$ จะอยู่ในรูป

$$h\nu - E_g \propto (h\nu L)^2 \quad 2.7.2.4$$

ดังนั้นถ้า L เกิดจากการย้ายสถานะแบบตรง เมื่อเราเขียนกราฟของ $(h\nu L)^2$ กับ $h\nu$ กราฟที่ได้จะเป็นกราฟเชิงเส้น และสามารถหาค่าช่องว่างแถบพลังงาน E_g ได้ โดย $E_g = h\nu$ เมื่อ $(h\nu L)^2 = 0$

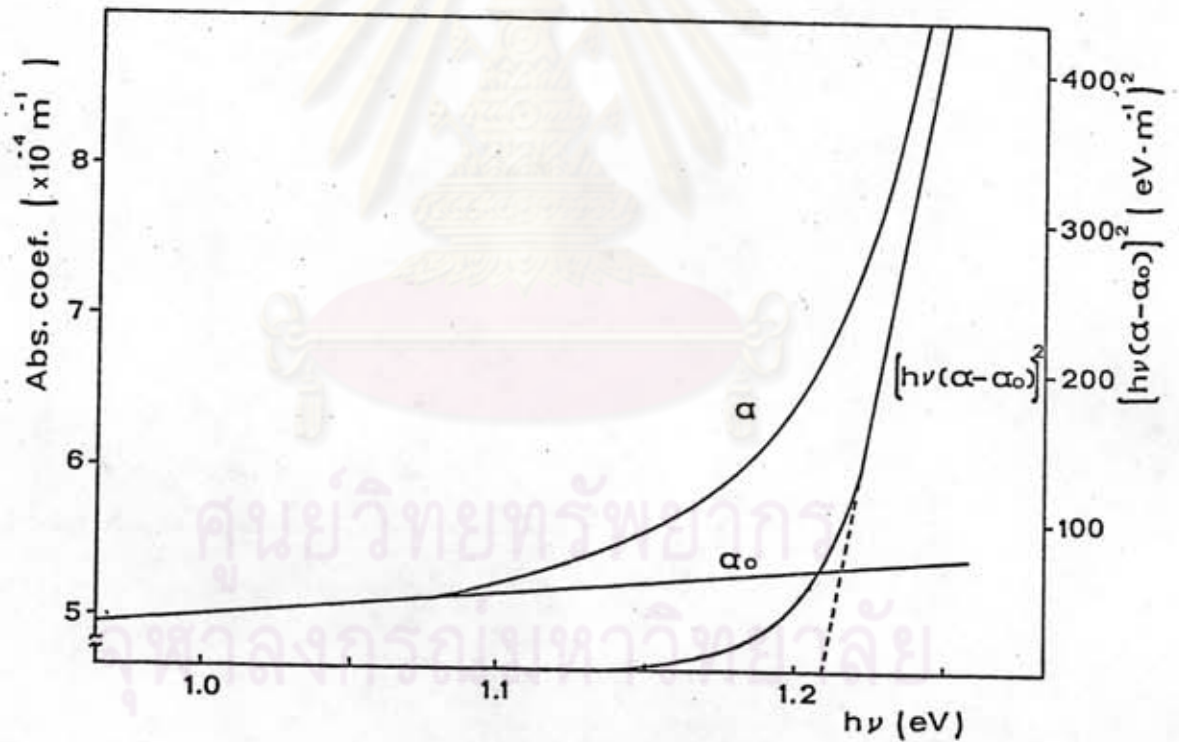
ข. ถ้า L เกิดจากการย้ายสถานะแบบเฉียง (indirect transition) ความสัมพันธ์ของ L กับ $h\nu$ จะอยู่ในรูป

$$h\nu - E_g \propto (h\nu\alpha)^{1/2}$$

2.7.2.5

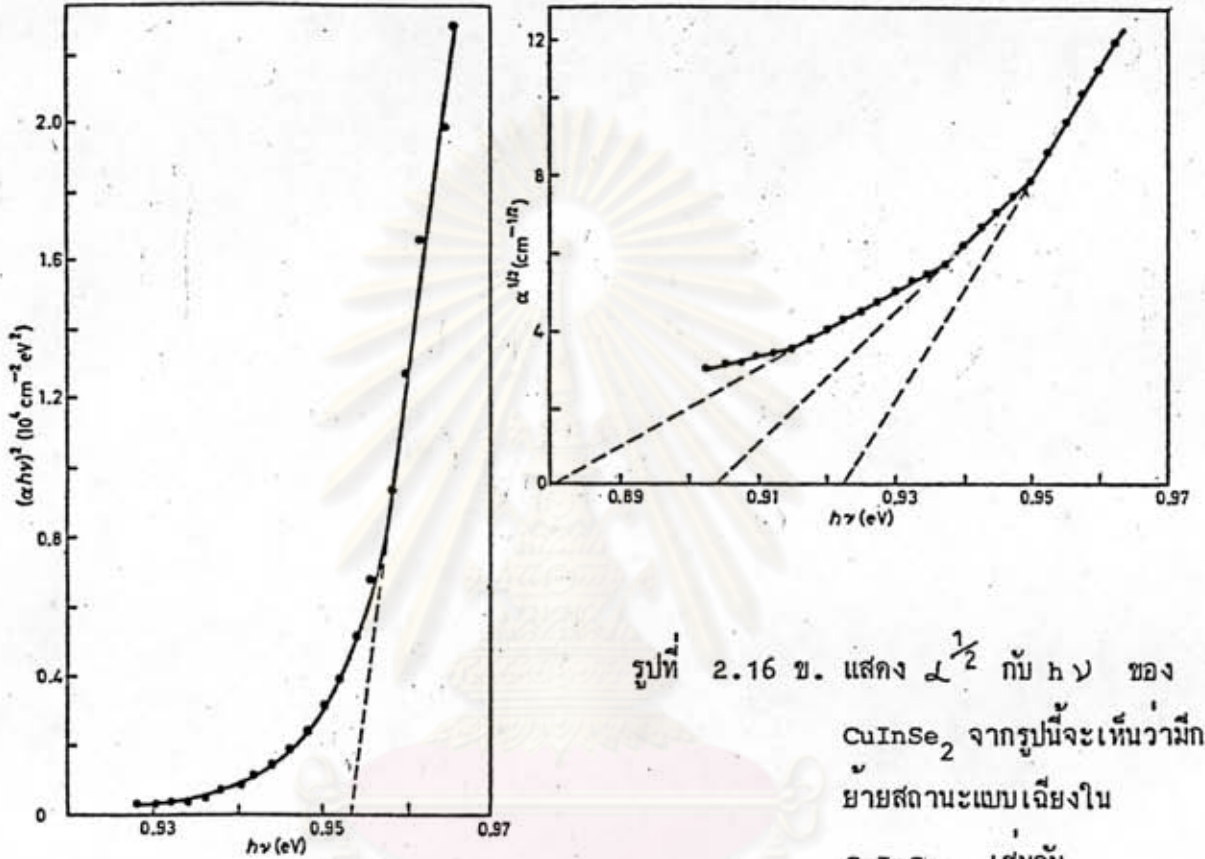
ดังนั้นถ้า α เกิดจากการย้ายสถานะแบบเฉื่อย เมื่อเราเขียนกราฟของ $(h\nu\alpha)^{1/2}$ กับ $h\nu$ กราฟที่ได้จะเป็นกราฟเชิงเส้น และหา $E_g = h\nu$ ได้เมื่อ $(h\nu\alpha)^{1/2} = 0$ ในกรณีที่สัมพันธ์การดูดกลืนพื้นหลัง α_0 อยู่ด้วยจะต้องหัก α_0 ออกจาก α ในสมการ 2.7.2.4 และ 2.7.2.5 เสียก่อน.

รูปที่ 2.15 2.16 ก และ 2.16 ข เป็นตัวอย่างของผลการวัดการดูดกลืนแสง



รูปที่ 2.15 แสดงผลการวัดการดูดกลืนแสงของ $AgGaTe_2$ [9] ซึ่งเมื่อ
 ทึกว่า $AgGaTe_2$ มีโครงสร้างแถบพลังงานเป็นแบบตรง
 จะได้ $E_g = 1.21$ eV

รูป 2.16 ก. และ ข. ข้างล่างนี้เขียนจากข้อมูลของการทดลองเดียวกัน [11]



รูปที่ 2.16 ข. แสดง $\alpha^{1/2}$ กับ $h\nu$ ของ CuInSe2 จากรูปนี้จะเห็นว่ามีการย้ายสถานะแถบเฉียงใน CuInSe2 เช่นกัน

รูปที่ 2.16 ก. แสดง $(\alpha h\nu)^2$ กับ $h\nu$ ของ CuInSe2

ศูนย์วิจัยทรัพยากร
จุฬาลงกรณ์มหาวิทยาลัย